

## تشخیص همزمان ژن *cagA* و آلل‌های ژن *vacA* باکتری هلیکوباتر پیلوری در بیماران

### مبلا به التهابات دستگاه گوارشی با روش Multiplex PCR

محمد مبارکی<sup>۱</sup>، رسول روغنیان<sup>۱\*</sup>، طالب آزرم<sup>۲</sup>، سید حمید زرکش اصفهانی<sup>۱</sup> و حامد دفاق زاده<sup>۲</sup>

<sup>۱</sup> اصفهان، دانشگاه اصفهان، دانشکده علوم، گروه زیست‌شناسی

<sup>۲</sup> اصفهان، دانشگاه علوم پزشکی اصفهان، دانشکده پزشکی، گروه داخلی

تاریخ دریافت: ۸۷/۹/۲ تاریخ پذیرش: ۸۹/۴/۲۷

#### چکیده

هلیکوباتر پیلوری باکتری گرم منفی میکروآثروفیلیک است که در سراسر جهان جمعیت زیادی از انسانها را آلوده می‌کند. آلودگی با این باکتری گرچه در اکثر موارد بدون علائم بالینی است ولی در برخی از افراد می‌تواند همراه با علائم بالینی و در مواردی منجر به بروز بدخیمه‌ایی مانند آدنوکارسینوما و لنفوگیومی معده گردد. فاکتورهای ویرولانس متعددی از این باکتری مورد بررسی قرار گرفته‌اند که از آن جمله می‌توان به ژنهای *cagA* و *vacA* اشاره نمود. هدف از این مطالعه، علاوه بر پایه‌بریزی تست Multiplex PCR جهت تشخیص سریع و همزمان این دو ژن در یک نمونه، بررسی ارتباط حضور این فاکتورهای ویرولانس با شدت بروز التهابات دستگاه گوارش انسان می‌باشد. این مطالعه برروی ۶۶ بیمار مبتلا به التهابات دستگاه گوارشی که تست سریع او ره آز مثبت داشتند، انجام گردید. از این تعداد ۲۱ مورد رشد هلیکوباتر پیلوری از نمونه بیوپسی معده بر روی محیط کشت مشاهده گردید. شناسایی کلینیکی باکتری با تستهای بیوشیمیایی تأیید شد. با انجام Multiplex PCR برروی DNA باکتری جدا شده در ۱۵ مورد ژن *cagA*، ۹ مورد ژنتوتیپ *s<sub>1</sub>m<sub>1</sub>*، ۱۲ مورد *s<sub>1</sub>m<sub>2</sub>* و ۵ مورد *s<sub>2</sub>m<sub>2</sub>* برروی ژل شناسایی گردید. ضمن اینکه ژنتوتیپ *s<sub>2</sub>m<sub>1</sub>* در این مطالعه مشاهده نشد. بیشترین فراوانی آللی مربوط به آلل‌های *s<sub>1</sub>* و *m<sub>2</sub>* بود. بیشتر بیماران مورد مطالعه التهاب متشره ناحیه آنتروم معده داشتند و در اکثر موارد حضور ژن *cagA* با ژنتوتیپ *s<sub>1</sub>m<sub>2</sub>* بود. این تحقیق نشان دهنده‌ی آن است که احتمالاً بین حضور همزمان این دو و شدت بروز التهابات دستگاه گوارشی رابطه‌ای وجود دارد.

واژه‌های کلیدی: هلیکوباتر پیلوری، ژن *cagA*، آلل‌های ژن *vacA*، مولتی پلکس PCR، التهابات دستگاه گوارشی.

\*نویسنده مسئول، تلفن: ۰۳۱۱-۷۹۳۲۴۵۸، پست الکترونیکی: rasoul\_roghanian@yahoo.co.uk

#### مقدمه

اگرچه ورود باکتری به بدن سبب تحریک سیستم ایمنی می‌گردد ولی در اغلب موارد فعالیت دستگاه ایمنی منجر به حذف باکتری نمی‌گردد. بدین ترتیب باکتری می‌تواند سالها و حتی مدام‌العمر در بدن به شکل مزمن باقی بماند (۲). آلودگی با این باکتری در اکثر موارد بدون هیچ گونه علامت بالینی بوده و تنها درصد کمی از افراد علائمی از قبیل سوزش سر دل، التهاب معده، التهاب ناحیه دوازده، زخم معده و دوازده و کم خونی ناشی از فقر آهن از خود

نخستین بار حدود صد سال پیش گونه‌های هلیکوباتر در معده انسان و سایر حیوانات مشاهده گردید. هلیکوباتر پیلوری باکتری گرم منفی، میکروآثروفیلیک و دارای ۴-۶ تاژک غشادار است که به ترتیب حدود ۵۰ و ۸۰ درصد افراد در کشورهای توسعه یافته و در حال توسعه را آلود می‌کند. این باکتری دارای یکی از قوی ترین اوره‌آزها است. ضمن اینکه فعالیت کاتالازی و اکسیدازی نیز داراست (۲، ۱۲ و ۱۴).

گرفته است. نتایج ضد و نقیضی در این مطالعات مشاهده می‌شود، به طوری که برخی محققین بر این باورند که آلدگی با سویه‌های *cagA* مثبت و با ژنوتیپ  $s_1m_2$  همراه با افزایش شدت التهابات و زخمها و همچنین افزایش شناسی ابتلا به سرطانهای معده می‌باشد. در حالی که نتایج گروههای دیگری از پژوهشگران وجود چنین ارتباطی را تأیید نمی‌کند (۱، ۱۰، ۱۶ و ۱۸ و ۱۹). در این تحقیق ابتدا کشت نمونه بیوپسی تهیه شده از ناحیه آنتروم معده ۶۶ بیمار با التهابات بخش فوقانی دستگاه گوارش انجام شد. به دنبال استخراج DNA باکتری و انجام Multiplex PCR ، ارتباط میان حضور ژنهای ویرولانس *cagA* و *vacA* با انواع و شدت التهابات دستگاه گوارش بررسی گردید.

نتایج این بررسی پیشنهاد می‌نماید که بین ژنوتیپ هلیکوباکتر پیلوری و شدت التهابات ایجاد شده در دستگاه گوارش ارتباط وجود دارد.

اهداف این تحقیق عبارتند از:

- ۱- پایه‌گذاری یک تست Multiplex PCR جهت تعیین سریع و دقیق ژنهای *cagA* و آلهای مختلف *vacA*
- ۲- بررسی فراوانی ژنهای *cagA* و *vacA* و ارتباط آنها با انواع التهابات مورد بررسی در دستگاه گوارش.

### مواد و روشها

تهیه نمونه: دو نمونه بیوپسی، از ناحیه آنتروم معده ۶۶ بیمار مشکوک به عفونت *Helicobacter pylori* مراجعه کننده به بخش آندوسکوپی بیمارستان نور اصفهان گرفته شد. یک نمونه جهت بررسی وضعیت اوره‌آزی و نمونه دیگر جهت کشت بر روی محیط کشت استفاده گردید. نمونه دوم افرادی که تست اوره‌آز سریع آنها مثبت بود (کیت تست اوره‌آز محصول شرکت شیم آرزمیم)، در لوله‌های در پیچ دار حاوی سرم فیزیولوژیک استریل به آزمایشگاه میکروب‌شناسی منتقل شد و بلا فاصله روی محیط کشت اختصاصی *Helicobacter pylori* با رعایت

بروز می‌دهند. حدود ۲-۳ درصد از افراد مبتلا به هلیکوباکتر پیلوری امکان ابتلا به آدنوکارسینوما و لنفومای معده دارند (۵). بررسیهای متعددی در ارتباط با فاکتورهای مؤثر در بروز این علائم انجام شده که از آن جمله می‌توان به ژنتیک میزان، عوامل محیطی و فاکتورهای ویرولانس باکتری مانند ژنهای *cagA* و *vacA* اشاره نمود (۵ و ۱۲). *cagA* نام ژنی است که پروتئین ۱۴۵ - ۱۲۸ کیلو دالتونی به همین نام را رمز دهی می‌کند. این ژن در ۵۰-۷۰ درصد سویه‌های باکتری مشاهده می‌شود. پروتئین *cagA* پس از ورود به سیتوزول سلول میزان و فسفریله شدن، فعال گشته و تغییرات عملکردی و مورفو‌لولژیکی زیادی را درون سلول میزان باعث می‌شود (۲۰ و ۲۱).

در مقابل، تمام سویه‌های هلیکوباکتر پیلوری دارای ژن *vacA* بوده که پروتئین *vacA* را رمز می‌کند. این ژن دارای دو ناحیه‌ی متغیر سیگنالینگ و ناحیه میانی می‌باشد. ناحیه سیگنالینگ رمزکننده بخش پیتید سیگنالی انتهای آمینی توکسین بالغ است و ۲ تیپ اصلی توالی سیگنالی  $s_1$  و  $s_2$  می‌باشند. (۸ و ۲۱). شکل ۱۱ یک انتهای آمینی آب گریز دارد که برای فعالیت کامل توکسین ضروری می‌باشد. از طرفی *vacA* در ناحیه  $m$  خود نیز تنوع دارد. دو شکل آللی در ناحیه  $m$  قابل تشخیص‌اند که  $m_1$  و  $m_2$  می‌باشند (۲۱). پروتئین *vacA* یک ناقل خود به خود بوده که به صورت پیش‌ساز ۱۴۰ کیلو دالتونی تولید می‌گردد. سپس به فرم بالغ منومریک ۹۵ کیلو دالتونی پردازش گردیده و طی فرآیند دو مرحله‌ای از باکتری ترشح می‌شود. این پلی پیتید دارای یک سیگنال پیتید ۳۳ آسید آمینه‌ای در انتهای آمینی و یک انتهای کربوکسیلی ۴۵ کیلو دالتونی می‌باشد که باعث تشکیل واکوئل در سلول اپی‌تلیومی می‌شود (۷).

مطالعات متعددی در نواحی مختلف جهان و مناطقی از ایران در مورد بررسی ارتباط میان آلدگی با سویه‌های دارای ژن *cagA* و همچنین اشکال آللی متفاوت ژن *vacA* با بروز انواع التهابات و بیماریهای دستگاه گوارشی صورت

**شناسایی باکتری *H. pylori***: ۴ تا ۵ روز پس از کشت نمونه‌های آندوسکوپی روی محیط کشت اختصاصی *H. pylori*، کلینیهای بسیار ریز خاکستری، شفاف و محدب رشد کرد. که توسط رنگ آمیزی گرم از نظر مورفولوژی و تستهای اوره‌آز، کاتالاز و اکسیداز شناسایی آن مورد تأیید قرار گرفت.

#### استخراج DNA از کلینی باکتری

**روش جوشاندن:** در روش جوشاندن مقداری از کلینیها به آرامی از سطح محیط کشت به درون لوله‌های اپندورف منتقل گردید. با توجه به اینکه محیط کشت حاوی خون و هسته پوروفرین می‌باشد و این مواد در مراحل استخراج DNA و انجام PCR می‌توانند به عنوان بازدارنده عمل کنند، از این‌رو قبل از استخراج DNA ابتدا شستشوی کلینیها با فسفات بافر سالین انجام شد. سپس آب دوبار تقطیر به آنها اضافه شد و سپس به مدت ۱۵ دقیقه در بن ماری ۱۰۰ درجه سانتی‌گراد قرار داده شد. آنگاه تمام نمونه‌ها به مدت ۱۰ دقیقه در ۱۰۰۰۰ دور سانتریفیوژ گردید. محلول رویی به لوله‌های اپندورف استریل منتقل شد. این محلول که حاوی قطعات DNA می‌باشد تا زمان انجام PCR در فریزر ۲۰-درجه سانتی‌گراد نگهداری شد.

شرابط آسپتیک کشت داده شد (۱۳). بیماران مورد بررسی حداقل به مدت ۲ هفته هیچ گونه درمان آنتی‌بیوتیکی علیه هلیکوباکتر پیلوئی یا داروی مهارکننده پمپ پروتونی مصرف نکرده بودند (۱۰). برای ایجاد شرایط میکروب‌آنوفیلیک مناسب جهت رشد باکتری، از جاربی‌هوازی و گازپک نوع C (Merk Germany) استفاده شد. جار به مدت ۳ الی ۵ روز در انکوباتور ۳۷ درجه سانتی‌گراد قرار داده شد. محیط کشت اختصاصی مورد استفاده، محیط با پایه بروسلا آگار بود. برای تهیه یک لیتر از این محیط کشت مقدار ۴۱ گرم بروسلا آگار، ۳ گرم عصاره مخمر، ۵ گرم عصاره گوشت، ۰/۵ گرم فرو سولفات، ۰/۵ گرم اسید پیروفیک به همراه ۱۰ درصد خون تازه دفیرینه گوسفند و سه آنتی‌بیوتیک و نکومایسین ۶ میلی گرم، تری متوریم ۵ میلی گرم و آمفوتیریسن B ۲ میلی گرم استفاده گردید (۱۵).

**طریقه تلقیح:** نمونه‌های بیوپسی پس از انتقال به آزمایشگاه تحقیقاتی گروه زیست‌شناختی دانشگاه اصفهان بر روی پلیتیهایی که قبلاً استریل شده بود قرار گرفت و توسط سرسیمپلر و لامهای استریل شده به خوبی له گردید. این کار بدین منظور انجام شد تا باکتریهایی که در لابلای نمونه بافتی بهدام افتاده‌اند آزاد گشته و در نتیجه راحت‌تر با محیط کشت در تماس باشند و بدین ترتیب شانس بالاتری جهت رشد داشته باشند.

جدول ۱ - مشخصات پرایمرهای مورد استفاده در این تحقیق

| DNA regions Amplified               | Primer Name | Primer Sequence              | Amplicon Size(bp) |
|-------------------------------------|-------------|------------------------------|-------------------|
| vacA s <sub>1</sub> /s <sub>2</sub> | VAI-F       | 5' ATGGAAATACAACAAACACAC 3'  | 259-286           |
|                                     | VAI-R       | 5' CTGCTTGAATGCGCCAAAC 3'    |                   |
| vacA m <sub>1</sub> /m <sub>2</sub> | VAG-F       | 5' CAATCTGTCCAATCAAGCGAG 3'  | 567-642           |
|                                     | VAG-R       | 5' GCGTCAAAATAATTGAAGG 3'    |                   |
| cagA                                | cag5c-F     | 5' GTTGATAACGCTGTCGCTTC 3'   | 350               |
|                                     | cag3c-R     | 5' GGGTTGTATGATATTCCATAAA 3' |                   |

PCR روی ژل آگارز ۱/۵ در صد به مدت تقریبی ۹۰ دقیقه انجام شد.

### نتایج

نتیجه کشت نمونه‌هایی که دارای تست سریع اوره آز مثبت بودند: از ۶۶ بیمار با تست سریع اوره آز مثبت ۲۱ مورد رشد هلیکوباتر پیلوئی بر روی محیط کشت اختصاصی مشاهده گردید. به عبارتی میزان بازیابی باکتری (Recovery Rate) از نمونه بیوپسی ۳۱/۸ در صد بود.

**أنواع التهابات گوارشی مشخص شده در نمای آندوسکوپی:** در بررسی آندوسکوپی انجام شده از بیماران التهابات تشخیص داده شده توسط متخصص آندوسکوپی Diffuse شامل موارد التهاب منتشره ناحیه آنتروم معده (Antral Gastritis, DAG ، Mild Diffuse Antral Gastritis, Mild DAG) ، التهاب معده-دوازده (Gastroduodenitis) ، التهاب فرسایی معده-دوازده (Erosive Gastroduodenitis) و التهاب فرسایی ناحیه فوندوس معده (Erosive EFG) بودند (جدول ۳). بیشترین فراوانی مریبوط به التهاب منتشره ناحیه آنتروم معده بود. اعتقاد براین است که باکتری تمایل بیشتری به استقرار در این ناحیه معده دارد.

**نتایج Multiplex PCR :** شکل ۱ تصویر یک ژل تیپیک حاصل از انجام Multiplex PCR بر روی چند نمونه را نشان می‌دهد. چاهک دوم مریبوط به مارکر 100bp می‌باشد. چاهک شماره ۱۰ به عنوان کنترل منفی در نظر گرفته شده که فاقد DNA بوده، و در چاهک ۱۱، دو باند  $s_1$  و  $s_2$  مشاهده می‌شود. حداقل باند در مواردی مشاهده می‌شود که *cagA* حضور نداشته باشد و فقط دو باند مریبوط به ناحیه سیگنال و میانی وجود داشته باشد. در این بررسیها تمام سویه‌ها دارای ژن *vacA* بودند. فراوانی آلهای  $s_1$  و  $m_1$  و  $m_2$  به ترتیب ۷۷ و ۲۳، ۶۲ و ۲۲ درصد بود (جدوال

**انجام Multiplex PCR :** توالی دو جفت پرایمر اختصاصی برای *vacA* و یک جفت پرایمر اختصاصی برای *cagA* که بر اساس مقالات قبلی در جدول ۱ ارائه شده است. در صورت حضور ژن *cagA* در نمونه مورد بررسی و پس از تکثیر، قطعه‌ای با اندازه ۳۵۰ جفت باز به دست می‌آید. همین طور در صورت وجود اشکال آللی  $s_1/m_1$  و  $s_2/m_2$  ژن *vacA* به ترتیب قطعاتی با اندازه‌های ۲۸۶ و ۵۶۷ و ۶۴۲ به دست می‌آیند (۴).

برنامه دهی ترموسایکر PCR برای تعداد ۳۴ سیکل به صورت دناتوره اولیه ۵ دقیقه در دمای ۹۵ درجه سانتی‌گراد، دناتوره ثانویه ۱ دقیقه در دمای ۹۴ درجه، اتصال یک دقیقه در دمای ۵۵ درجه، بسط و گسترش ۱ دقیقه در دمای ۷۲ درجه و بسط و گسترش نهایی به مدت ۱۰ دقیقه در دمای ۷۲ درجه انجام شد.

حجم مواد مورد نیاز جهت انجام Multiplex PCR از آلهای  $s_1/m_1$  و  $s_2/m_2$  مریبوط به ژن *vacA* و ژن *cagA* در جدول ۲ ارائه شده است.

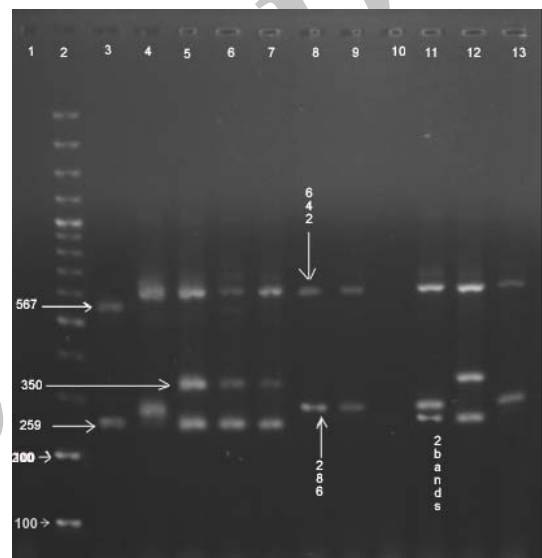
جدول ۲ - حجم مواد مورد نیاز برای انجام Multiplex PCR

| حجم به میکرولیتر | مواد مورد نیاز  |
|------------------|---|
| ۱۶/۶             | آب دو بار تقطیر   |
| ۲/۵              | بافر PCR  |
| ۰/۷              | dNTP  |
| ۰/۸              | MgCl <sub>2</sub>                                       |
| ۰/۲              | P <sub>1</sub> : Forward m <sub>1</sub> /m <sub>2</sub> |
| ۰/۲              | P <sub>2</sub> : Reverse m <sub>1</sub> /m <sub>2</sub> |
| ۰/۲              | P <sub>3</sub> : Forward s <sub>1</sub> /s <sub>2</sub> |
| ۰/۲              | P <sub>4</sub> : Reverse s <sub>1</sub> /s <sub>2</sub> |
| ۰/۲              | P <sub>5</sub> : Forward cagA                           |
| ۰/۲              | P <sub>6</sub> : Reverse cagA                           |
| ۰/۲              | آنزیم Tag پلیمراز                                       |
| ۳                | DNA الگو  |
| ۲۵               | حجم نهایی   |

بعد از افزودن همزمان سه جفت پرایمر به محلول با حجم نهایی ۲۵ میکرولیتر و انجام PCR ، الکتروفورز محلول

مقررین به صرفه بودن، به حداقل رساندن احتمال آلوودگی نمونه مورد بررسی می‌باشد. در این تحقیق بیشترین فراوانی ژن *cagA* در افراد با التهابات منتشره ناحیه آنتروم مشاهده شد. در مجموع فراوانی ژن *cagA* بدون در نظر گرفتن شدت التهابات ۷۱/۴ درصد بود که با مطالعاتی که توسط کمالی سروستانی و همکاران در سال ۲۰۰۶ میلادی انجام شده و ۷۶ درصد گزارش شده نزدیک می‌باشد. این محققین در بررسیهای خود که بر روی ۲۸۹ بیمار با انواع اختلالات گوارشی (از التهابات معده و دوازدهه، زخم معده و دوازدهه و آدنوکارسینومای معده) در مدت ۴ سال در بیمارستان نمازی شیراز انجام شده بود نشان دادند که اولاً در میان گروههای مختلف بیماری حضور ژن *cagA* معنادار نمی‌باشد و ثانیاً فراوانی ژنوتیپهای  $s_1m_1$  و  $s_1m_2$  به ترتیب ۳۰/۷، ۴۱/۷ و ۲۷/۷ در صد بود که از نظر فراوانی ژنوتیپهای  $s_1m_1$  و  $s_1m_2$  به ترتیب  $s_2m_1$  و  $s_2m_2$  به ترتیب آدنوکارسینومای معده نشان دادند. این محققین با یافته‌های حاصل از این تحقیق تفاوت‌هایی وجود دارد. با این وجود در بررسی این محققین نیز بیشترین فراوانی مربوط به  $s_1m_2$  بود و شکل ۱ مشاهده نشد (۱۰). دلیل تفاوت در این نتایج می‌تواند ناشی از نوع اختلالات گوارشی مورد بررسی و نیز تعداد کم نمونه مورد بررسی باشد. در مطالعه دیگری که توسط شکوهی زاده و همکاران در بیمارستان بقیه‌ا... تهران بر روی ۵۴ نمونه‌ای که تست سریع اوره‌آزی مثبت بودند انجام شد فراوانی ژن *cagA* ۳۵/۸۱ درصد شد که با فراوانی حاصله از تحقیق حاضر تفاوت زیادی دارد (۱). این تفاوت می‌تواند به دلیل نوع عوارض ایجاد شده توسط باکتری و شدت التهاب ایجاد شده باشد. همچنین بررسی دیگری که توسط جعفری و همکاران بر روی ۲۸۰ نمونه بیوپسی معده در تهران انجام شده فراوانی ژن *cagA* ۷۴/۳ درصد بود که با مطالعه حاضر تطابق دارد، و فراوانی آلل  $s_1$  و  $m_2$  به ترتیب ۶۳/۵ و ۶۱/۲ شد. از طرف دیگر جعفری و همکاران میزان بازیابی باکتری از نمونه بیوپسی (Recovery Rate) تهیه شده از افراد مبتلا به سرطان معده

۴ و ۵). همچنین نتایج به دست آمده در این مطالعه فراوانی ژنوتیپهای  $s_1m_1$  و  $s_1m_2$  را به ترتیب ۴۳، ۵۷ و ۲۳ درصد نشان می‌دهد. لازم به تذکر است که ژنوتیپ  $s_2m_1$  در این بررسی دیده نشد. از ۲۱ مورد باکتری رشد یافته بر روی محیط کشت اختصاصی *H. pylori* ۱۵ مورد ژن *cagA* مشاهده گردید. در دو مورد آلوودگی همزمان با دو سویه یا اصطلاحاً آلوودگی مخلوط (Mixed infection) مشاهده گردید. بیشترین حضور ژن *cagA* همراه با شکل آللی  $s_1m_2$  بود.



شکل ۱- تصویر ژل آکارز حاصل از Multiplex PCR

شکل ۱ Multiplex PCR تعدادی از نمونه‌های مورد بررسی: چاهک ۲ مارکر ۱۰۰ جفت بازی، چاهک ۱۰ کترول منفی، است. آمپلیکون ۳۵۰ جفت بازی مربوط به ژن *cagA*، آمپلیکون‌های ۲۵۹ و ۲۸۶ به ترتیب مربوط به آلل‌های  $s_1$  و  $s_2$ ، تابیه سیگنالینگ است. آمپلیکون‌های ۵۶۷ و ۶۴۲ به ترتیب مربوط به  $m_1$  و  $m_2$  ناحیه میانی می‌باشند.

## بحث

تکثیر سریع و همزمان چند ژن در یک مخلوط واکنش یکی از اهدافی است که در تست Multiplex PCR دنبال می‌شود. محسن استفاده از این روش علاوه بر سریع و

و زخم دوازدهه به ترتیب ۴/۵ و ۱۵/۱ در صد گزارش ملاحظهای نشان می‌دهد (۹). کردند که با نتایج حاصل از تحقیق حاضر تفاوت قابل

جدول ۳ - انواع اختلالات گوارشی مشخص شده در نمای آندوسکوپی

| التهاب فرسایشی<br>ناحیه فوندوس<br>معده | التهاب فرسایشی معده-<br>دوازدهه | التهاب معده-<br>دوازدهه | التهاب متشره و<br>خفیف آنتروم | التهاب متشره در<br>ناحیه آنتروم | یافته آندوسکوپی<br>تعداد |
|--|---------------------------------|-------------------------|-------------------------------|---------------------------------|--------------------------|
| ۳                                      | ۱                               | ۳                       | ۴                             | ۱۰                              | ۲۱                       |

جدول ۴ - فراوانی ژن *cagA* در انواع التهابات مورد بررسی

| جمع  |       | موارد <i>cagA</i> منفی |       | موارد <i>cagA</i> مثبت |       | ناتیج                        | نوع اختلال                   |
|------|-------|------------------------|-------|------------------------|-------|------------------------------|------------------------------|
| درصد | تعداد | درصد                   | تعداد | درصد                   | تعداد |                              |                              |
| ۱۰۰  | ۱۰    | ۲۰                     | ۲     | ۸۰                     | ۸     | (DAG)                        | التهاب متشره آنتروم معده     |
| ۱۰۰  | ۴     | ۵۰                     | ۲     | ۵۰                     | ۲     | (Mild DAG)                   | التهاب متشره و خفیف آنتروم   |
| ۱۰۰  | ۳     | ۳۳                     | ۱     | ۶۶                     | ۲     | (Gastroduodenitis) - دوازدهه | التهاب معده- دوازدهه         |
| ۱۰۰  | ۱     | -                      | -     | -                      | -     | Erosive (Gastroduodenitis)   | التهاب فرسایشی معده- دوازدهه |
| ۱۰۰  | ۳     | -                      | -     | ۱۰۰                    | ۳     | (EFG)                        | التهاب فرسایشی فوندوس معده   |

DAG ( Diffuse Antral Gastritis)

EFG ( Erosive Fundal Gastritis)

GD ( Gastroduodenitis)

EGD ( Erosive Gastroduodenitis)

جدول ۵ - فراوانی آلی ژن *vacA* در انواع التهابات مورد بررسی

| فرارانی m      |                | فرارانی s      |                | نتایج                      | انواع التهابات                  |
|----------------|----------------|----------------|----------------|----------------------------|---------------------------------|
| m <sub>2</sub> | m <sub>1</sub> | s <sub>2</sub> | S <sub>1</sub> |                            |                                 |
| ۸              | ۲              | ۴              | ۶              | (DAG)                      | التهاب متشره آنتروم معده        |
| ۲              | ۱              | ۲              | ۲              | (Mild DAG)                 | التهاب متشره و خفیف آنتروم معده |
| ۲              | ۱              | ۱              | ۲              | (Gastroduodenitis)         | التهاب معده- دوازدهه            |
| ۱              | ۰              | ۰              | ۱              | (Erosive Gastroduodenitis) | التهاب فرسایشی معده- دوازدهه    |
| ۲              | ۱              | ۱              | ۲              | (EFG)                      | التهاب فرسایشی فوندوس معده      |

(۸۳/۱) و  $m_1$  (۸۰/۳) بوده است (۳). در حالی که در تحقیق حاصل  $m_2$  از فراوانی بالاتری برخوردار است. از طرف دیگر در مطالعه دیگری که توسط Kieran A. و همکاران در سال ۲۰۰۰ بر روی ۴۳ بیمار با انواع اختلالات گوارشی در اتریش انجام شده است مشخص گردیده که در ۹۳ درصد بیماران ژن *cagA* وجود دارد و ناحیه سیگنانلینگ به صورت  $s_1$  در تمام موارد و ناحیه میانی به صورت ۲۸ درصد  $m_1$  و ۸۲ درصد  $m_2$  بود. به عبارت دیگر در این تحقیق شکل آللی  $s_2$  گزارش نشده است (۱۱). اختلاف چشمگیر در فراوانی ژن *cagA* و *vacA* می‌تواند ناشی از توانایی بالای این باکتری جهت تغییر و تنوع ژنتیکی به تناسب نواحی مختلف جغرافیایی برخوردار باشد. با توجه به تعداد نسبتاً کم نمونه‌های مورد بررسی در این مطالعه پیشنهاد می‌شود که با همکاری چند مرکز آندوسکوپی تعیین فراوانی و وضعیت آللی ژنهای *cagA* و *vacA* در ایران انجام شود تا الگوی ژنتیکی و آللیک بیماری در این منطقه از جهان تعیین گردد.

لازم به ذکر است که میزان بازیابی در این مطالعه ۳۱/۸ به دست آمد. علت این تفاوت می‌تواند ناشی از نوع محیط کشت مورد استفاده و همچنین نوع اختلالات گوارشی مورد بررسی باشد. بعلاوه فاصله زمانی انتقال نمونه‌ها تا تلقیح برروی محیط کشت نیز بر میزان بازیابی مؤثر می‌باشد. سیاوشی و همکاران نیز در بررسیهای خود که بر روی ۱۳۷ بیمار با زخم دوازدهه، سوء هاضمه غیر زخمی و آدنوکارسینومای معده انجام دادند فراوانی ۴۴ درصدی و ۷۸ درصدی را به ترتیب برای *cagA* و  $s_1$  گزارش کردند که با نتایج تحقیق حاضر تفاوت زیادی دارد و می‌تواند به دلیل نوع اختلال مورد بررسی باشد. از طرفی این محققین در ۱۲ مورد آلدگی مخلوط  $m_1m_2$  (۰/۹ درصد) مشاهده کردند که با نتایج تحقیق حاضر مطابقت دارد (۱۸). در Ashour و همکاران سال ۲۰۰۲ در برزیل فراوانی ۸۱/۷ در صد بیماران *cagA* گزارش کردند. ۸۶/۶ در صد بیماران در این مطالعه فقط با یک سوبیه آلدوده شده بودند که تفاوت قابل ملاحظه‌ای با نتایج حاصل از این مطالعه دارد. از طرفی بیشترین فراوانی آللی در گزارش آنها مربوط به  $s_1$  می‌باشد.

## منابع

2. Algood, H. and Coyer, T. (2006). *Helicobacter pylori* persistence. An overview of interactions between *H. pylori* and host immune defenses. *American Society for Microbiology*. 19 (4), 597-613.
3. Ashour, A., Magalhaes, P., Mendes, E., Collares, G., DeGusmao, V., Dulciene, M., Queiroz, A., Nogueira, M., Rocha, G. and DeOliveira, C. (2002). Distribution of *vacA* genotypes in *Helicobacter pylori* strains isolated from Brazilian adult patients with gastritis, duodenal ulcer or gastric carcinoma. *FEMS Immunology and Medical Microbiology*. 33; 173-178.
4. Chattopadhyay, S., Patra, R., Ramamurthy, T., Chowdhury, A., Santra, A., Dhali, G.K., Bhattachary, S.K., Berg, D., Nair, G.B. and Mukhopadhyay, A.K. (2004). Multiplex PCR assay for rapid detection and genotyping of
1. Shkouhi Zadeh, L., Majdavi Mbarzi, A., Sadeghi Zadeh, M. and Aminie, M. (2005). بررسی ارتباط ژن *cagA* در هلیکوباتر پیلوئی و یافته های آندوسکوپی. *Majlis Pirsakhi Korth*. ۱۱؛ ۳، ص. ۲۶۶-۲۶۱.
- Helicobacter pylori directly from biopsy specimens. *Journal of clinical microbiology*. 42(6); 2821-2824.
- Dubois, A. and Boren, T. (2007). *Helicobacter pylori* is invasive and it may be a facultative intracellular organism. *Cellular Microbiology*. 9 (5); 1108-1116.
- Dunn, B. E., Cohen, H. and Blaser, M. J. (1997). *Helicobacter pylori*. *Clinical Microbiology Reviews*. 10 (4); 720-741.
- Fischer, W., Buhrdorf, R., Gerland, E. and Haas, R. (2001). Outer membrane targeting of passenger proteins by the vacuolating cytotoxin autotransporter of *Helicobacter pylori*. *Infection and Immunity*. 69; 6769-75.
- Forsyth, M.H., Atherton, J.C., Blaser, M.J. and Cover, T.L. (1998). Heterogeneity in levels of

- vacuolating cytotoxin gene (*vacA*) transcription among *Helicobacter pylori* strains. *Infection and Immunity.* 66; 3088–94
9. Jafari, F., Aslani, M., Shokrzadeh, L., Baghai, K., Dabiri, H., Zojaji, H., Razavilar, V., Kharaziha, P., Haghazali, M., Molaei, M. and Zali, M.R. (2007). Distribution of UreC, cagA and vacA genes in *Helicobacter pylori* isolated from patients with gastroduodenal disease in Tehran, Iran. European Society of *Clinical Microbiology and Infectious Diseases*. Abstract number. 1733\_1339
  10. Kamali-Sarvestani, E., Bazargani, A., Masoudian, M., Lankarani, K., Taghavi, A. and Saberifirooz, M. (2006). Association of *H. pylori* CagA and VacA genotypes and IL-8 gene polymorphisms with clinical outcome of infection in Iranian patients with gastrointestinal diseases. *World journal of gastroenterology.* 12(32); 5205-5210
  11. Kieran, A., Ryan, A., Moran, S., Hynes, T., Denisehyde, C. and O'Morain, M. (2000). Genotyping of cagA and vacA, Lewis antigen status, and analysis of the poly-(C) tract in the K (1,3)-fucosyltransferase gene of Irish *Helicobacter pylori* isolates. *FEMS Immunology and Medical Microbiology.* 28: 113-119.
  12. Kusters, J. G., VanVliet, A. H. M. and Kuipers, E. (2006). Pathogenesis of *Helicobacter pylori* infection. *Clinical Microbiology reviews.* 19 (3); 449-490.
  13. Ndip, R., Mackay, W., Farthing, M. and Weaver, L. (2003). Culturing *Helicobacter pylori* from clinical specimens: review of microbiologic methods. *Journal of pediatric gastroenterology and nutrition.* 36; 616-622
  14. O'Toole, P., Lane, W., and Porwollik, S. (2000) *Helicobacter pylori* motility. *Microbes and Infection.* 2;1207-1214.
  15. Piccolomini, R., Bonaventura, G., Festi, D., Catamo, G., Laterza, F. and Neri, M. (1997). Optimal combination of media for primary isolation of *Helicobacter pylori* from gastric biopsy specimens. *Journal of clinical microbiology.* 6;1541-1544.
  16. Qiao, W., Hu, J., Xiao, B., Wu, K., Peng, D., Atherton, J. and Xue, H. (2003). CagA and VacA genotypes of *Helicobacter pylori* associated with gastric diseases in Xian area. *World journal of gastroenterology.* 9(8);1762-1766.
  17. Selbach, M., Moese, S., Hurwitz, R., Hauck, C.R., Meyer, T.F. and Backert, S. (2003). The *Helicobacter pylori* CagA protein induces cortactin dephosphorylation and actin rearrangement by c-Src inactivation. *Embo J.* 22; 515-28.
  18. Siavoshi, F., Malekzadeh, R., Daneshmand, M. and Ashktorab, H. (2005). *Helicobacter pylori* endemic and gastric disease. *Digestive Diseases and Sciences.* 50:11, 2075–2080
  19. Smith, S., Kirsch, C., Oyedeleji, K., Arigbabu, A., Coker, A., Bayerdoffer, E. and Miehlke, S. (2002). Prevalence of *Helicobacter pylori* VacA, CagA and iceA genotypes in Nigerian patients with duodenal ulcer disease. *Medical microbiology.* 35; 851-854.
  20. Stein, M., Bagnoli, F., Halenbeck, R., Rappuoli, R., Fantl, W.J. and Covacci, A. (2002). c-Src/Lyn kinases activate *Helicobacter pylori* CagA through tyrosine phosphorylation of the EPIYA motifs. *Molecular Microbiology.* 43; 971-80.
  21. Van Doorn, L., Figueiredo, C., Sanna, R., Pena, S. and Midolo, P. (1998). Expanding allelic diversity of *Helicobacter pylori* vacA. *Journal of Clinical Microbiology.* 36; 2597–603.

## Simultaneous detection of *caga* gene and *vacA* alleles in *Helicobacter pylori* isolated from patients with gastrointestinal inflammations using multiplex PCR.

Mobaraki M.<sup>1</sup>, Roghanian R.<sup>1</sup>, Azarm T.<sup>2</sup>, Zarkesh-Esfahani S.H.<sup>1</sup> and Daghangzadeh H.<sup>2</sup>

<sup>1</sup> Biology Dept., Faculty of Science, University of Isfahan, Isfahan, I.R. of IRAN

<sup>2</sup> Internal Medicine, School of Medicine, Isfahan University of Medical Science, Isfahan, I.R. of IRAN

### Abstract

*Helicobacter pylori* is a gram negative and microaerophilic bacterium which infects a lot of people all over the world. Although in most cases the infected individuals usually show no symptoms of infection, but seldom its infection leads to gastrointestinal inflammation, peptic ulcer and even malignancies such as gastric adenocarcinoma and lymphoma. Several virulence factors of this bacterium including *cagA* and *vacA* adequately have been investigated by numerous researchers in this field. The aim of this study was to establish the multiplex PCR test for a simultaneous and rapid detection of the above mentioned genes as well as determining any relationship between the virulence factors and the severity of the gastrointestinal inflammations. In this study, gastric biopsies of 66 patients with positive rapid urease test were collected for further studies. From these samples, only 21 could grow on standard culture media. All the bacterial isolates were confirmed by biochemical tests. Chromosomal DNA was extracted from bacterial isolates and further examined by multiplex PCR. In 15 cases *cagA*, 9 cases *s<sub>1</sub>m<sub>1</sub>*, 12 cases *s<sub>1</sub>m<sub>2</sub>* and 5 cases *s<sub>2</sub>m<sub>2</sub>* were seen. No *s<sub>2</sub>m<sub>1</sub>* genotype was found. The most frequent allelic forms were related to *s<sub>1</sub>* and *m<sub>2</sub>* alleles. Most of the patients in this study had diffuse antral gastritis. In most cases *cagA* and *s<sub>1</sub>m<sub>2</sub>* were accompanied together. These data indicate that probably there is a relationship between simultaneous presence of these factors and the severity of the gastrointestinal inflammations.

**Keywords:** *Helicobacter pylori*, Multiplex PCR, *cagA* gene and *vacA* alleles, Gastrointestinal inflammation.